

ДВУМЕРНЫЙ ЭЛЕКТРОННЫЙ ГАЗ НА ПОВЕРХНОСТИ $Cd_xHg_{1-x}Te$ В БЛИЗИ ПЕРЕХОДА БЕСЩЕЛЕВАЯ-УЗКОЩЕЛЕВАЯ ФАЗА

© A.M.Хасбулатов

Дагестанский государственный университет,
367025 Махачкала, Россия

(Получена 5 июля 1995 г. Принята к печати 12 октября 1995 г.)

Исследованы компоненты тензора сопротивления и осцилляции Шубникова-де-Гааза на одном и том же монокристалле $Cd_{0.16}Hg_{0.84}Te$ периодически на протяжении 10 лет. Деградация свойств объема и поверхности приводит к исчезновению осцилляций от двумерных и объемных электронов. В результате повторного травления осцилляции от двумерных электронов возникают вновь.

Исследованы гальваномагнитные явления, в том числе эффект Шубникова-де-Гааза, в $Cd_xHg_{1-x}Te$ (кадмий-ртуть-теллур, КРТ) при наличии двумерного электронного газа (2DEG) на поверхности. Содержание Cd $x = 0.16$ в области гелиевых температур соответствует переходу бесщелевая-узкощелевая фаза. Эксперименты проводились на одном и том же образце с размерами $5 \times 1 \times 0.6$ мм³, хранившемся в атмосфере воздуха при нормальных условиях в течение более 10 лет, с интервалами до 5 лет.

При исследовании компонент тензора сопротивления ρ_{ik} (ρ_{xx} — поперечное, ρ_{zz} — продольное, ρ_{xy} — холловское сопротивление) серии монокристаллов КРТ ($0.1 \leq x \leq 0.2$) при температуре жидкого гелия на двух из них с $x = 0.16$ впервые были обнаружены квантовые осцилляции, обусловленные 2DEG на поверхности [1,2]. В магнитных полях $H < 5$ кЭ наблюдалась осцилляции Шубникова-де-Гааза (ОШГ), связанные с квантованием трехмерной системы электронов в объеме образца. Концентрация трехмерного электронного газа (3DEG), оцененная по ОШГ, оказалась равной 10^{14} см⁻³ и совпадала с концентрацией, определенной из измерений коэффициента Холла в слабом магнитном поле.

В полях $H > 5$ кЭ (квантовый предел для 3DEG) была обнаружена дополнительная серия квантовых осцилляций, связанных с двумерной электронной системой. 2DEG обусловлен двумерным слоем, образованным в результате естественного окисления поверхности. При хранении образцов КРТ в атмосфере воздуха на их гранях

возникают различные виды окислов, которые заряжают поверхность положительно [3]. Электрическое поле 10^5 В/см, создаваемое заряженной поверхностью, приводит к изгибу зон и образованию слоя с 2DEG толщиной в несколько сот ангстрем в приповерхностной области КРТ. Приложение магнитного поля перпендикулярно поверхности вызывает дополнительное квантование Ландау. Концентрация 2DEG в каждой двумерной (2D) подзоне определяется из выражения $n_s^i = (\pi \hbar c)^{-1} e / \Delta_s^i$, где $\Delta_s^i(1/H)$ — период ОШГ от соответствующей 2D подзоны, $i = 0, 1, 2, \dots$ — номер 2D подзоны [4].

Итак, в скрещенных магнитном H и электрическом E полях в квантовом пределе наблюдалась серия осцилляций с разными периодами Δ_s^i , при этом осцилляционные пики ρ_{xx} и ρ_{xy} противофазны; в продольном магнетосопротивлении ρ_{zz} осцилляции не наблюдались. Оценка эффективной массы носителей из температурной зависимости амплитуды ОШГ в поле $H = 43$ кЭ показала, что для двумерных электронов $m_s^* = 3.5 \cdot 10^{-2} m_0$ (m_0 — масса свободного электрона). Это значение существенно превышает эффективную массу электронов в объеме $m_v^* = 2 \cdot 10^{-3} m_0$, но меньше на порядок величины эффективной массы тяжелых дырок.

Исследования, проведенные в импульсных полях до 300 кЭ, позволили идентифицировать четкую осцилляционную картину во всем диапазоне H и определить периоды осцилляций Δ_s^i от 5 заселенных 2D подзон [5]. Из периодов была оценена суммарная концентрация 2DEG на поверхности КРТ $n_s \simeq 10^{13} \text{ см}^{-2}$.

Теоретические расчеты [6] показывают, что для $\text{Cd}_x\text{Hg}_{1-x}\text{Te}$ в зависимости от состава, концентрации носителей на поверхности и в объеме возможны различные варианты числа заполнения 2D подзон вплоть до пяти. При этом с ростом поверхностной концентрации увеличивается глубина залегания двумерных подзон. Оценочные расчеты, проведенные нами для твердого раствора с $x = 0.16$, показали, что при электрическом поле 10^5 В/см и поверхностном потенциале 0.5 эВ в приповерхностном обогащенном двумерном слое под уровнем Ферми находятся пять 2D подзон.

На рис. 1 и 2 представлены компоненты тензора сопротивления $\text{Cd}_{0.16}\text{Hg}_{0.84}\text{Te}$ в скрещенных полях при $T = 4.2$ К. Магнитополевая зависимость холловского сопротивления $\rho_{xy} = R_H H$ (R_H — коэффициент Холла) при различных временах экспозиции образца в атмосфере воздуха приведена на рис. 1. Кривая 1 взята из [2]. Временные интервалы между кривыми 1–3 составляют 5 лет: а между кривыми 3 и 4 — трое суток. Как видно из рис. 1, осцилляционный характер холловских кривых 1, 2 со временем сменяется монотонным (кривая 3). При этом зависимость $\rho_{xy}(H)$ остается возрастающей. После травления (был снят слой 150 мкм) и экспозиции на воздухе ход холловского сопротивления (кривая 4) в магнитном поле становится типичным для материалов с преобладанием проводимости p -типа. На рис. 2 приведены магнитополевые зависимости сопротивления $\rho_{xx}(H)$ (кривые 1, 2). Кривая 1 снята через 10 лет после обнаружения поверхностных ОШГ [1, 2] и имеет монотонный характер, так же как кривая 3 на рис. 1 холловского сопротивления. Зависимость $\rho_{xx}(H)$ (рис. 2, кривая 2), полученная на свежетравленном образце, имеет так же, как и $\rho_{xy}(H)$ (рис. 1, кривая 4), осцилляционный характер. Эксперименты, проводимые периодически

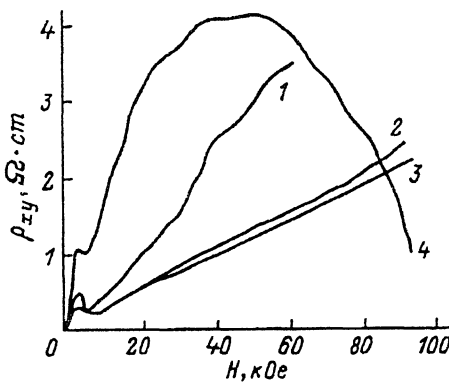


Рис. 1. Зависимость холловского сопротивления ρ_{xy} в образце КРТ ($x = 0.16$) от напряженности магнитного поля при $T = 4.2$ К и различных временах экспозиции на воздухе: 1 — данные [2], после травления; 2 — ~5 лет, без травления; 3 — ~10 лет, без травления; 4 — ~10 лет, травление.

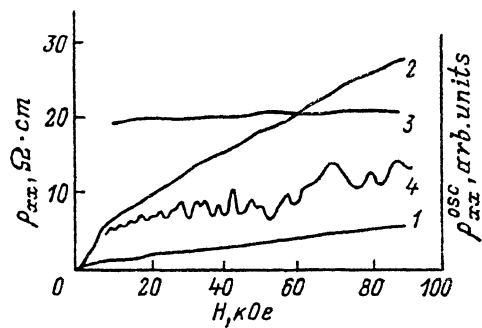


Рис. 2. Зависимость поперечного магнетосопротивления ρ_{xx} (1, 2) и осциллирующей составляющей ρ_{xy}^{osc} (3, 4) при $T = 4.2$ К в образце КРТ ($x = 0.16$) через ~10 лет выдержки на воздухе: 1, 3 — до травления; 2, 4 — после травления.

на одном и том же монокристалле $Cd_{0.16}Hg_{0.84}Te$, показали, что со временем происходит спад амплитуды ОШГ, связанных с 2DEG, вплоть до их исчезновения. После травления и выдержки в атмосфере эти осцилляции возникли вновь. Зависимости $\rho_{xx}^{osc}(H)$ на рис. 2, полученные вычитанием из $\rho_{xx}(H)$ линейного фона, иллюстрируют исчезновение (кривая 3) и появление вновь (кривая 4) осцилляций от 2DEG на поверхности. При этом положение осцилляционных экстремумов на шкале магнитных полей совпадает с пиками поверхностных ОШГ, наблюдавшихся ранее [1, 2, 4]. Необходимо заметить, что обнаруженные в полях $10 \leq H \leq 300$ кЭ ОШГ на ρ_{xx} и ρ_{xy} связаны с поверхностным 2DEG (магнитное поле перпендикулярно поверхности) в отличие от данных работы [7], где наблюдались осцилляции в двумерных электронных каналах на границах блоков в поле, параллельном поверхности. Необходимо также отметить, что наблюдаемые в [1] ОШГ, связанные с квантованием 3DEG, исчезли в результате изменения свойств образца. Это обстоятельство так же, как и другие наблюдаемые особенности гальваномагнитных эффектов, в том числе ОШГ, связано с изменением свойств объема и поверхности образца в результате долговременной экспозиции в атмосфере.

Как известно [8, 9], длительное хранение сплавов $Cd_xHg_{1-x}Te$ приводит к деградации свойств образцов. Это обусловлено слабой связью атомов в решетке кристалла, что способствует низкому порогу генерации собственных дефектов. При этом ваканции Hg выступают как дефекты акцепторного типа, а свободные ионы ртути — донорного. Изменение свойств кристаллов КРТ в основном связано с диффузией атомов Hg к поверхности с последующим их испарением или окислением на границе. Снятие поверхностного слоя толщиной 150 мкм при травлении привело к уменьшению дефектов донорного типа, скопившихся вблизи поверхности кристалла. В результате поведение ρ_{xy} из-

менилось не только количественно, но и качественно. Однако это не повлияло на возникновение двумерных состояний на поверхности.

В заключение автор выражает благодарность за ценные указания проф. Р.В. Парфеньеву и В.В. Косареву.

Список литературы

- [1] А.М. Хасбулатов, Д.В. Машовец, Р.В. Парфеньев. *Матер. 5 Всес. симп. «Полупроводники с узкой запрещенной зоной и полуметаллы»* (Львов, 1980) ч. 1, с. 47.
- [2] В.В. Косарев, А.М. Хасбулатов и др. *Тр. Всес. конф. по физике полупроводников* (Баку, 1982) т. 1, с. 213.
- [3] Н.Н. Берченко и др. Зарубеж. электрон. техн., вып. 3, 3 (1981).
- [4] T. Ando, A.B. Fowler, F. Stern. Rev. Mod. Phys., 54, 437 (1982).
- [5] А.М. Хасбулатов. В сб.: *Перенос носителей заряда и тепла в полупроводниках* (Махачкала, 1986) с. 59.
- [6] Y. Takida, K. Arai, Y. Uemura. *Lect. Notes in Phys.* (Springer Verlag, Berlin-Heidelberg, 1982) v. 152, p. 101.
- [7] В.А. Погребняк, Д.Д. Халамейда, В.М. Яковенко. Письма ЖЭТФ, 46, 167 (1987).
- [8] Н.П. Гавалешко, П.Н. Горлей, В.А. Шендеровский. *Узкозонные полупроводники. Получение и физические свойства* (Киев, Наук. думка, 1984) с. 288.
- [9] R. Dornhaus, G. Nimtz. *Springer Tracts in Modern Physics*, v. 98: *Narrow-Gap Semiconductors* (Springer Verlag, Berlin-Heidelberg, 1985) p. 300.

Редактор Л.В. Шаронова

A two-dimensional electron gas on the surface of $Cd_xHg_{1-x}Te$ near a gap-less-narrow-gap phase transition

A.M. Khasbulatov

Dagestan State University, 357025 Makhachkala, Russia

Components of the resistance tensor and Shubnikov-de Haas oscillations have been studied on the same single crystal of $Cd_{0.16}Hg_{0.84}Te$ periodically throughout ten years. The bulk and surface degradation led to disappearance of oscillations for both of the two-dimensional (2D) and bulk electrons. Oscillations from 2D-electrons appear again after repeated etching.